[3] 张昌立，李华玲. 原发性水痘性肺炎的 CT 表现[C]. 中国中西医结合学会医学影像专业委员会. 中国中西医结合学会医学影像专业委员会第十七次全国学术大会暨甘肃省中西医结合学会医学影像专业委员会第六届学术年会资料汇编. 中国中西医结合学会医学影像专业委员会：中国中西医结合学会，2019：83.
[4] 谭宇鑫，伊淑帅，郭衍冰，等. 疱疹病毒致病机制的研究进展[J]. 中国兽医学报，2019，39(4)：794-799.
[5] 王莉，樊卓，覃净静，等. 水痘-带状疱疹病毒治疗的研究进展[J]. 中华传染病学，2017，35(9)：571-573.
[6] KOO H J，LIM S，CHOE J，et al. Radiographic and CT features of viral pneumonia[J]. Radiographics，2018，38(3)：719-739.
[7] CHONG S，KIM T S，CHO E Y. Herpes simplex virus pneumonia：High-resolution CT findings[J]. Br J Radiol，2010，83(991)：585-589.
[8] 刘占辉，李若旭，董玉龙，等. 成人麻疹并发肺感染的薄层 CT 表现[J]. 临床放射学杂志，2018，37(1)：58-62.

Peritoneal giant loose body：Case report
腹腔巨大游离体 1 例

黄　涛，何其舟，张艳丽
（西南医科大学附属中医院放射科，四川 泸州　646000）

[**Keywords**]　peritoneal giant loose body；laparoscopic；tomography，X-ray computed
[**关键词**]　腹腔巨大游离体；腹腔镜；体层摄影术，X 线计算机
DOI：10.13929/j.issn.1003-3289.2020.08.037
[**中图分类号**]　R735.4；R814.42　[**文献标识码**]　B　[**文章编号**]　1003-3289(2020)08-1264-01

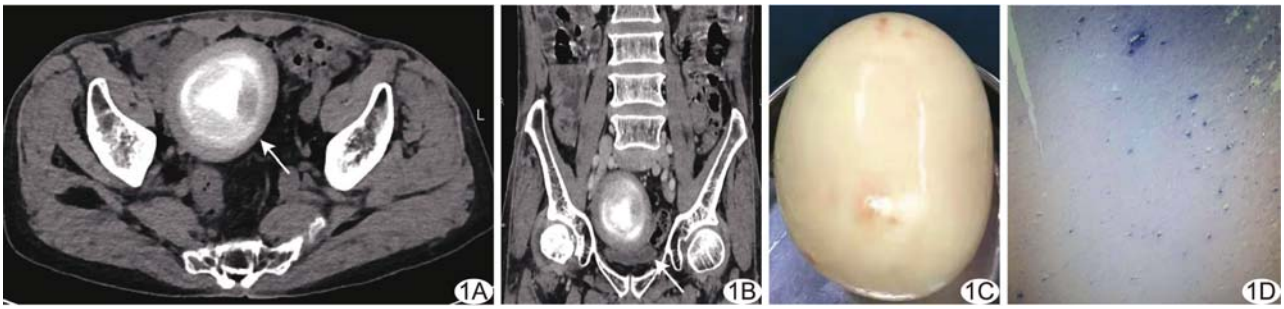


图 1　腹腔游离体　A. 平扫 CT(箭示分层样钙化)；B. 冠状位 CT 增强(箭示游离体)；C. 大体标本；D. 病理染色(HE，×40)

患者男，62 岁，因“腹胀、腹痛、尿频 2 个月，伴厌油腻、食欲缺乏、口干”入院；3 年前因“阑尾炎”接受“阑尾切除术”。查体：腹软，无压痛，下腹部触及肿块，质硬，活动度尚可。实验室检查：谷草转氨酶 82 U/L，丙转氨酶 85 U/L，碱性磷酸酶 212 U/L。CT：盆腔见一 11.5 cm×8.6 cm×7.4 cm 椭圆形软组织肿块影，边界清晰，其内见斑块状及环形钙化(图 1A)，增强后无明显强化；上腹腔脂肪间隙密度增高。冠状位重建图像示肿块位于膀胱上方，膀胱明显受压，未见明确肠道梗阻征象(图 1B)。考虑肠系膜畸胎瘤？行开腹探查术，术中见盆腔内约 10 cm×8 cm×7 cm 黄白色包块，质硬，边界光滑(图 1C)；上腹部肝脏包膜与大网膜严重粘连。术后病理：光镜下见包块内存在明显透明纤维硬化中心，周围绕以成纤维细胞基质(图 1D)。诊断：腹腔巨大游离体。术后患者腹痛、尿频症状明显缓解。

讨论　腹腔游离体(peritoneal loose bodies，PLB)也称为“腹膜鼠”，发病率较低，多系剖腹手术或尸检中偶然发现，为白色或浅黄色块状，表面光滑，直径多为 0.5～2.5 cm，依靠吸收腹膜血清中的蛋白质生长，直径＞5 cm 时称腹腔巨大游离体。该病发病机制尚不清楚，临床表现为腹部游走性疼痛或压迫性尿潴留等。本例有阑尾炎病史，推测由于感染致脂肪沉积于肠脂垂并阻塞血管，肠脂垂梗塞、脱落，加之肝功能受损也可增加腹膜渗出量，促使腹腔巨大游离体形成，最后因重力作用落入盆腔。PLB 声像图表现为低回声团块，内部见强回声，后方伴声影；CT 表现为圆形或卵圆形软组织团块伴中心钙化，本例符合上述表现。鉴别诊断：①畸胎瘤，多发生于女性卵巢，平扫密度多不均匀，呈囊性或囊实性，其内存在脂肪成分和钙化灶为特征性表现，增强后无强化或实性成分明显强化；②腹腔淋巴结钙化，病灶较小且钙化均匀，与 PLB 鉴别困难，但可通过改变体位扫描进行鉴别。CT 有助于提高本病诊断率，最终确诊需依靠病理学检查。

[**第一作者**] 黄涛(1981—)，女，四川达州人，硕士，主治医师。E-mail：26707430@qq.com
[**收稿日期**] 2020-02-27　[**修回日期**] 2020-06-21